

MIRJANA JANKOVIĆ i
MILORAD M. JANKOVIĆ

OSNOVNE KARAKTERISTIKE SVETLOSNOG REŽIMA I NJEGOVE DINAMIKE U BATLAVSKOJ AKUMULACIJI

UVOD

Svetlost predstavlja nesumnjivo jedan od najvažnijih ekoloških faktora s obzirom na presudnu ulogu u fotosintezi i formiranju termičkog režima staništa. Taj značaj se posebno ističe u vodenim biocenozama, u kojima postoji mogućnost, uslovljena dubinom i optičkim svojstvima vode, da se formiraju dve sasvim različite zone, fotična i afotična. Dok je prva karakteristična pre svega po zelenim biljkama, u drugoj se nalaze organizmi prilagođeni na odsustvo svetlosti, pa čak i takvi koji poseduju sopstveni izvor svetlosti. Život u vodenim bazenima nemoguće je u potpunosti shvatiti bez dubljeg poznavanja karakteristika njihovog svetlosnog režima, pa je zato ovome u svetu i poklonjena određena pažnja, naročito u poslednje vreme (Aberg B. und Rodhe W. 1942, Berger F. 1961, Birge A. and Juday C. 1929, 1930, 1931, 1932, Mokievskij K. 1961, Petrov B. 1961, Sauberer F. 1938, 1939, 1945, Sauberer F. and Eckel O. 1938, Rutkovskaja V. 1961). Međutim, u našoj zemlji, koja se inače odlikuje mnogobrojnim kopnenim vodama, gotovo da i nije rađeno na proučavanju njihovog svetlosnog režima (Golubić N. 1964 a, 1964 b). To je svakako nedostatak u dosadašnjim limnološkim proučavanjima naših vodenih ekosistema.

U ovom radu prikazani su rezultati proučavanja svetlosnog režima Batlavske akumulacije kod Prištine, veštačkog jezera koje je 1961 godine izgrađeno u gornjem toku reke Batlave (Janković M. 1967).

METODIKA RADA

Prilikom ispitivanja svetlosnih prilika u Batlavskoj akumulaciji korišćen je Langeov svetlomer sa selenskom fotoćelijom u metalnoj čauri nepropustljivoj za vodu. U vertikalnoj seriji mereni su istovremeno intenzitet svetlosti koja prodire prema dnu i difuzne svetlosti koja se odozdo vraća ka površini. Sem toga, beležena je količina sunčeve energije ispod same površine vode, kao i jačina svetlosti u vazduhu, iznad vodenog ogledala.

Između ostalog svetlosni režim je okarakterisan koeficijentom podvodne osvetljenosti K_0 i koeficijentom difuznog odbijanja K_d (P e t r o v 1961).

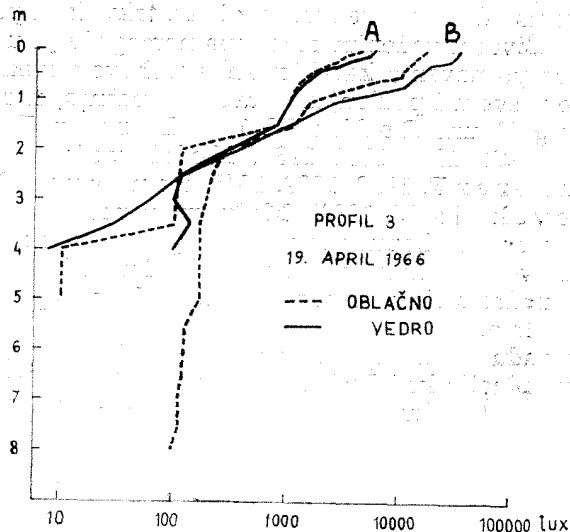
Prvi je određen formulom $K_0 = \frac{E_z}{E_0}$ a drugi formulom $K_d = \frac{R_z}{S}$,

pri čemu je E_z — osvetljenost na dubini z , E_0 — osvetljenost ispod same površine, R_z — difuzno izračivanje koje odozdo ide ka površini vode, a S potok prirodnog zračenja koje ide vertikalno nadole.

ANALIZA REZULTATA

Od mnogobrojnih merenja koja su vršena u toku 5 godina odabrana su samo neka na osnovu kojih će biti prikazana vremenska i prostorna dinamika svetlosnih uslova u Batlavskoj akumulaciji.

Utvrđeno je pre svega da u Batlavsku akumulaciju prodire znatna količina svetlosti. Od ukupne sunčeve radijacije koja padne na vodeno ogledalo u toku vedrih dana, u površinskom sloju se upije maksimalno 68.000 luksa, češće oko 50.000 luksa, što znači da u vodu prodre 85—90% od pripele svetlosti. Međutim, za vreme tmurnih dana, u zavisnosti od stepena oblačnosti, a posebno od vrste oblaka, absorbuje se svega 60—70% sunčeve energije, ili se taj procenat penje čak na 90 pa i 94% ako je nebo prekriveno belim kumulusima.



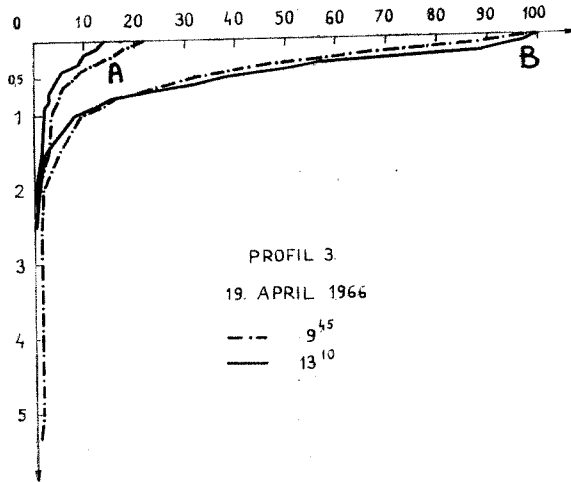
Dijagram 1. Karakteristike svetlosnog intenziteta pri oblačnom i vedrom nebu; A — difuzna svetlost, B — propuštena svetlost.

Graph 1. Characteristics of the light intensity in the conditions of cloudy and bright weather; A — diffuse lighte, B — penetrated light

Tablica 1. Karakteristike svetlosnog režima pri oblačnom i vedrom nebu
 Characteristics of the light intensity in the conditions of cloudy and bright weather
 19. IV. 1966.

Profil 3 Profile 3	Vedro Bright weather		Oblačno Cloudy weathe	
	Propuštena sv. Penetrated light	Difuzna sv. Diffuse light	Propuštena sv. Penetrated light	Difuzna sv. Diffuse light
0 cm	57.000 Lux	8.000 Lux	31.000 Lux	7.000 Lux
10 "	55.000 "	7.500 "	27.000 "	5.500 "
20 "	51.000 "	6.000 "	21.000 "	5.000 "
30 "	33.000 "	5.000 "	17.000 "	4.000 "
40 "	29.000 "	3.500 "	13.000 "	3.000 "
50 "	28.000 "	3.000 "	11.000 "	2.500 "
60 "	18.000 "	2.500 "	8.000 "	2.000 "
70 "	13.000 "	2.000 "	6.500 "	1.700 "
80 "	9.000 "	1.600 "	5.000 "	1.500 "
90 "	7.000 "	1.300 "	4.000 "	1.200 "
100 "	5.000 "	1.100 "	3.000 "	1.100 "
150 "	1.200 "	900 "	1.500 "	900 "
200 "	600 "	500 "	500 "	150 "
250 "	150 "	150 "	400 "	130 "
300 "	100 "	80 "	350 "	110 "
350 "	220 "	50 "	300 "	100 "
400 "	100 "	—	300 "	10 "
450 "	—	—	300 "	11 "
500 "	—	—	300 "	10 "
550 "	—	—	200 "	—
600 "	—	—	180 "	—
650 "	—	—	180 "	—
700 "	—	—	150 "	—
750 "	—	—	150 "	—
800 "	—	—	100 "	—

Dijagram 1 (i tablica 1) pruža bliže podatke o karakteristikama svetlosnog režima Batlavске akumulacije u jednom istom danu, ali pri različitim vremenskim prilikama. Merenja su vršena u 10 h kada je nebo bilo zastrto sivim oblacima i u 13 h pri potpuno vedrom danu. Pokazalo se da se u površinskom sloju sve do 70 cm dubine može samo u roku od 3 časa, između dva merenja, jačina svetlosti da udvostruči ili čak da pređe početnu veličinu. Razlike su ustanovljene i u dubljim slojevima, ali su u vodenoj masi ispod jednog metra relativno male i obično u korist podataka dobijenih pri oblačnom vremenu. To pokazuje da se najintenzivnije promene u svetlosnoj klimi Batlavskog jezera dešavaju u površinskoj vodi do jednog metra dubine. Međutim, kod difuzne svetlosti taj sloj se smanjuje na svega 30 cm, u kome jedino i dolazi do vidnijih promena u reflektovanju svetlosti, ali su one znatno manje od onih koje se javljaju pri prodiranju sunčeve radijacije u vodu.



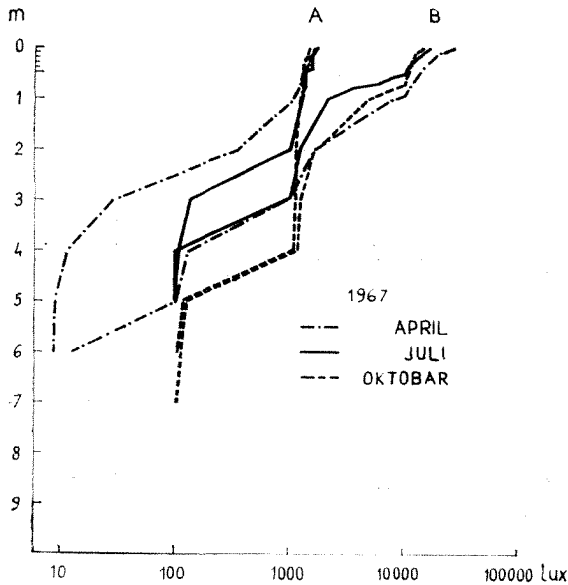
Dijagram 2. Koeficijent podvodne osvetljenosti (B) i difuznog odbijanja (A) pri oblačnom i vedrom nebu.

Graph 2. Quocient of the underwater luminousness (B) and the diffuse reflection (A) in the conditions of cloudy and bright weather.

Daleko su manje razlike konstatovane u koeficijentu podvodne osvetljenosti (Dij. 2). Iako je jačina sunčeve radijacije kroz oblake predstavljala jedva 60% od njene vrednosti pri vedrom nebu, posle prodiranja u vodu razlika se znatno ublažila. Izrazitije razlike su utvrđene samo u tankom površinskom sloju, a ispod 80 cm nisu iznosile ni 1%.

U odnosu na koeficijent difuznog odbijanja razlike između oblačnog i vedrog vremena zabeležene su dosta dublje. Pri tome je važno istaći da se veća količina svetlosti odbija u vodi kada je oblačno, mada je refleksija sa površine jezerskog ogledala manja i čini 70% od difuzne svetlosti pri vedrom nebu.

Dinamika svetlosnog intenziteta koja je praćena u prolećnjoj, letnjoj i jesenjoj sezoni tokom 1967. godine, pokazuje maksimalne vrednosti u aprilu a minimalne u oktobru (Dij. 3, tablica 2). Razlika u osvetljenosti površinskih slojeva između ova dva meseca iznosi oko 23.000 luksa, odnosno u jesen je svetlosni intenzitet skoro dva puta manji nego u proleće. Međutim, vodeni slojevi ispod 30 cm osvetljeni su najslabije u julu i tek se na dubini od 5 m jaćina svetlosti gotovo izjednaćuje u svim sezonama, pri vrednosti od 100—150 luksa.



Dijagram 3. Sezonska dinamika svetlosne klime u Batlavskoj akumulaciji: A — difuzna svetlost, B — propušćena svetlost.

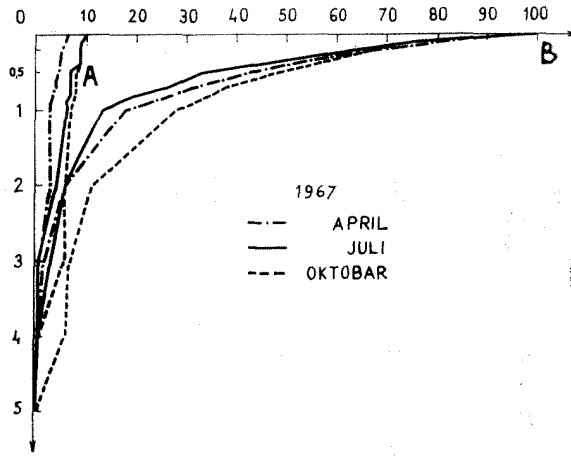
Graph 3. Seasonal dynamics of the light climate in the accumulation Batlava: A — diffuse light, B — penetrated light.

U pogledu difuzne svetlosti situacija je obrnuta. U slojevima do dubine od jednog metra najviše se svetlosti odbije u toku leta a idući prema dnu najveće vrednosti konstatovane su u jesen. I na osnovu kolićine difuzne svetlosti moće se zaključiti da se prolećni mesec odlikuje »najćistijom« vodom na ćitavoj dubini jezera.

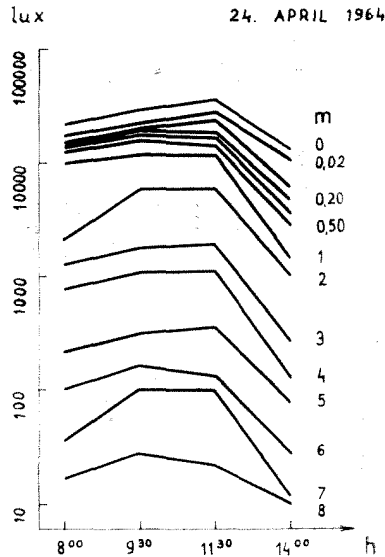
Sudeći po koeficijentu podvodne osvetljenosti gornja vodena masa, do 2 m dubine, dobija najveću kolićinu svetlosti (Dij. 4). Tu se absorbuje oko 90% sunćeve radijacije koja uće u jezero, pri ćemu se, u zavisnosti od godišnjeg doba, 50—70% sunćeve energije zadržava već u gornjih pola metra slobodne vode. U letnjim mesecima absorbcija je nagla pa ispod jednog metra dospeva mali procenat radijacije, nasuprot jeseni u kojoj se isti svetlosni intenzitet sreće znatno dublje.

Tablica 2. Sezonska dinamika svetlosne klime u Batlavskoj akumulaciji
 Seasonal dynamics of the climate in the accumulation Batlava

Iznad vode above water	21. IV. 1967.		13. VII. 1967.		IX. 1967.	
	Propuštena sv. Prenetrated light	Difuzna sv. Diffuse light	Propuštena sv. Prenetrated light	Difuzna sv. Diffuse light	Propuštena sv. Prenetrated light	Difuzna sv. Diffuse light
	55.000 Lux	4.000 Lux	32.000 Lux	5.000 Lux	29.000 Lux	320 Lux
0 cm	48.000 "	3.200 "	30.000 "	3.000 "	25.400 "	260 "
10 "	38.000 "	2.900 "	23.000 "	2.800 "	19.100 "	240 "
20 "	32.000 "	2.500 "	19.000 "	2.800 "	17.200 "	230 "
30 "	28.000 "	2.500 "	16.000 "	2.800 "	15.500 "	220 "
40 "	24.000 "	2.200 "	13.000 "	2.800 "	13.900 "	220 "
50 "	21.000 "	2.100 "	11.000 "	2.200 "	12.400 "	210 "
60 "	18.000 "	2.000 "	9.000 "	2.200 "	11.200 "	200 "
70 "	15.000 "	1.900 "	8.000 "	2.200 "	10.000 "	200 "
80 "	13.000 "	1.700 "	6.000 "	2.200 "	9.100 "	200 "
90 "	11.000 "	1.500 "	5.000 "	2.000 "	8.200 "	190 "
100 "	9.000 "	1.300 "	4.000 "	2.000 "	7.300 "	180 "
2 m	3.000 "	600 "	2.000 "	1.100 "	3.200 "	160 "
3 "	1.000 "	50 "	1.000 "	220 "	1.900 "	150 "
4 "	200 "	16 "	100 "	110 "	1.600 "	130 "
5 "	100 "	6 "	100 "	100 "	150 "	120 "
6 "	20 "	5 "	— "	— "	150 "	130 "
7 "	12 "	— "	— "	— "	120 "	120 "
8 "	7,5 "	— "	— "	— "	— "	— "
9 "	5 "	— "	— "	— "	— "	— "



Dijagram 4. Koeficijent podvodne osvetljenosti (B) i difuznog odbijanja (A) u različitim sezonama.
Graph 4. Quocient of the underwater luminouseness (B) and the diffuse reflection (A) in different seasons.



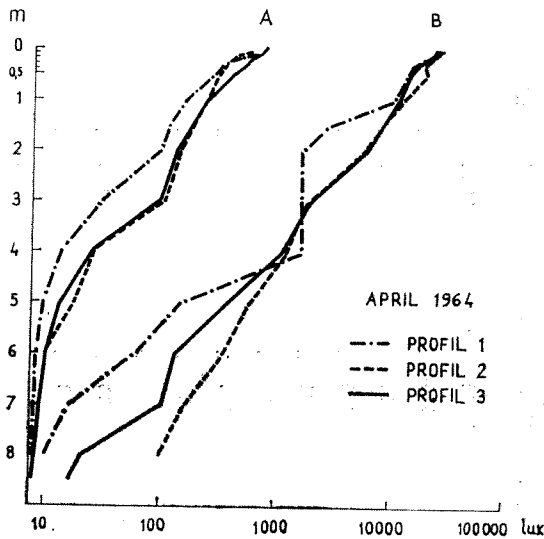
Dijagram 5. Dnevno kolebanje svetlosnog intenziteta na različitim dubinama.
Graph 5. Daily fluctuations of the light intensity at different depths.

Tablica 3. Dnevna kolebanja svetlosnog intenziteta na različitim dubinama
 Daily fluctuations of the light intensity at different depths
 24. IV. 1964.

Profil 3 Profile 3	8 h		9 ³⁰ h		11 ³⁰ h		14 h	
	Propuštena sv. Penetrated light	Difuzna sv. Diffuse light	Propuštena sv. Penetrated light	Difuzna sv. Diffuse light	Propuštena sv. Penetrated light	Difuzna sv. Diffuse light	Propuštena sv. Penetrated light	Difuzna sv. Diffuse light
	Lux	Lux	Lux	Lux	Lux	Lux	Lux	Lux
Ispod površine below the surface	32.000	740	42.000	840	50.000	910	12.000	310
0,10 cm	26.000 "	640 "	37.000 "	780 "	43.000 "	870 "	8.000 "	290 "
0,20 "	23.000 "	590 "	36.000 "	720 "	34.000 "	800 "	7.000 "	210 "
0,30 "	22.000 "	540 "	32.000 "	680 "	30.000 "	760 "	6.000 "	170 "
0,50 "	18.000 "	480 "	28.000 "	570 "	24.000 "	660 "	5.000 "	160 "
1 m	10.000 "	300 "	17.000 "	430 "	16.000 "	450 "	2.500 "	110 "
2 m	4.000 "	130 "	8.000 "	190 "	8.000 "	220 "	1.200 "	65 "
3 "	1.900 "	62 "	3.200 "	92 "	3.500 "	100 "	500 "	20 "
4 "	900 "	29 "	1.400 "	42 "	1.500 "	48 "	200 "	14 "
5 "	400 "	11 "	550 "	19 "	600 "	23 "	90 "	6 "
6 "	110 "	5 "	300 "	12 "	210 "	11 "	50 "	4 "
7 "	60 "	3 "	110 "	6 "	100 "	5 "	15 "	2 "
8 "	30 "	2 "	50 "	4 "	40 "	3 "	10 "	1 "
8,5 "	22 "	1 "	30 "	3 "	30 "	2 "	5 "	— "

Međutim, koeficijent difuznog odbijanja je u svim sezonama vrlo sličan. Predstavljen je ortogradnom krivom sa neznatnim odstupanjima jedino u površinskom sloju do 30 cm dubine.

Detaljnija analiza dinamike svetlosnog režima Batlavske akumulacije u toku jednog dana potvrđuje da postoji određena zavisnost između dubinskog rasporeda svetlosne energije i položaja sunca. Iz dijagrama 5 (i tablice 3), koji prikazuje dnevno kolebanje svetlosnog intenziteta u aprilu 1964. godine, u vremenskim intervalima od oko 2^h, jasno se vidi da su maksimalne vrednosti dostignute u podne, saglasno najvišem položaju sunca. Tada se u sloju ispod jezerske površine jačina svetlosti povećala za 18.000 luksa u odnosu na cifru koja je u istom sloju zabeležena u 8^h, mada je sličan porast utvrđen i nešto dublje. Međutim, ispod 20 cm dubine svetlost intenzivno prodire već od 10^h, zbog čega je u tom momentu utvrđena gotovo ista svetlosna klima kao i u podne. Treba istaći da mala količina svetlosti u 14^h nije uslovljena nižim položajem sunca, što je inače bio slučaj u 8^h, već je velika oblačnost u tom momentu dozvolila da samo mali deo sunčeve radijacije dopre do površine jezera.



Dijagram 6. Prostorna distribucija sunčeve radijacije u Batlavskoj akumulaciji; A — difuzna svetlost (odozdo), B — propuštena svetlost.

Graph 6. Spatial distribution of the solar radiation in the accumulation Batlava; A — diffuse light (from below), B — penetrated light.

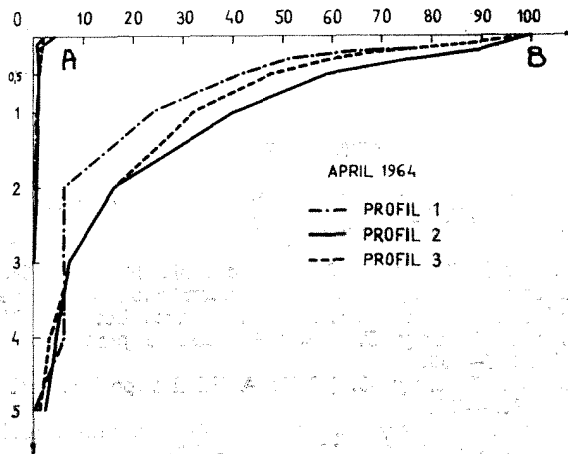
Slično razlikama koje su konstatovane u sezonskoj i dnevnoj distribuciji svetlosnog intenziteta postoji i različita osvetljenost vodenih slojeva dužinom Batlavske akumulacije. Ova analiza izvršena je na osnovu poda-

Tablica 4. Prostorna distribucija sunčeve radijacije u Batlaskoj akumulaciji
 Spatial distribution of the solar radiation in the accumulation Batlava
 April 1964.

Profili 1, 2, 3 Profiles 1964	Profil 1 Profile		Profil 2 Profile		Profil 3 Profile	
	Propuštena sv. Prenetrated light	Difuzna sv. Diffuse light	Propuštena sv. Prenetrated light	Difuzna sv. Diffuse light	Propuštena sv. Prenetrated light	Difuzna sv. Diffuse light
	50.000 Lux	2.000 Lux	47.000 Lux	800 Lux	12.000 Lux	310 Lux
0 cm						
5 "	45.000 "	900 "	— "	— "	— "	— "
10 "	43.000 "	830 "	44.000 "	690 "	8.000 "	290 "
20 "	32.000 "	650 "	42.000 "	630 "	7.000 "	210 "
30 "	26.000 "	570 "	36.000 "	590 "	6.000 "	170 "
50 "	21.000 "	510 "	28.000 "	540 "	5.000 "	160 "
1 m	12.000 "	280 "	19.000 "	450 "	2.500 "	110 "
1,5 "	5.000 "	160 "	— "	— "	— "	— "
2 "	3.000 "	100 "	7.800 "	240 "	1.200 "	65 "
3 "	3.000 "	55 "	3.400 "	120 "	500 "	20 "
4 "	3.000 "	23 "	1.900 "	48 "	200 "	14 "
5 "	250 "	9 "	800 "	33 "	90 "	6 "
6 "	80 "	3 "	600 "	10 "	50 "	4 "
7 "	30 "	1 "	300 "	5 "	15 "	2 "
8 "	0 "	0 "	100 "	1 "	10 "	1 "
8,5 "	— "	— "	— "	— "	5 "	— "

taka koji potiču sa centralnih tačaka tri poprečna profila, na kojima maksimalna dubina iznosi 30, 23 i 17 m idući od brane ka gornjem kraju jezera. Dobijeni rezultati prikazani su na dijagramu 6 (tablica 4). Utvrđeno je da je svetlosni intenzitet manje više isti na čitavom jezeru i da tek na dubini od 20 cm dolazi do diferencijacije. Počev od ovog sloja najveća količina svetlosti zapaža se na profilu 2. Međutim, slične vrednosti su, uz maksimalno odstupanje od 400 luksa, zabeležene i na profilu 3, dok je ispred brane gotovo u čitavoj vodenoj masi svetlosni intenzitet najmanji.

Na skoro identičan način je i difuzna svetlost raspoređena u raznim jezerskim regionima. I ona ima najmanje vrednosti na profilu 1 i pokazuje sličan vertikalni tok na srednjim i malim jezerskim dubinama, sa izuzetkom površinskog sloja do dubine od 1 m, u kome se najveća količina difuzne sunčeve radijacije zapaža na profilu 3.



Dijagram 7. Koeficijent podvodne osvetljenosti (B) i difuznog odbijanja (A) u različitim regionima jezera

Graph 7. Quocient of the underwater luminousness (B) and the diffuse reflection (A) in different regions of the lake.

Drukčije podatke pruža koeficijent podvodne osvetljenosti (Dij. 7). Prelomna tačka nalazi se na 3 m i ispod nje je procenat svetlosti na čitavom jezeru približno isti. Međutim, idući ka površini razlike između analiziranih profila su neznatne. Najveće su u sloju od 10—30 cm dubine. Tu se od svetlosti koja prodre u vodu zadržava na profilu 2 oko 25% više nego na prvom profilu, dok se negde na sredini, ali ipak bliže manjim vrednostima nalazi svetlosni intenzitet u najblićem jezerskom regionu.

ZAKLJUČAK

1. U Batlavsku akumulaciju prodire znatna količina svetlosti, pri čemu maksimalna vrednost iznosi oko 70.000 luksa.
2. U toku vedrih dana površinski jezerski sloj absorbira 85—90% sunčeve energije, dok se pri oblačnom nebu taj procenat smanjuje na 60—70. Međutim, ako se na nebu javi beli kumulusi absorpcija svetlosti je slična kao i u sunčanom danu.
3. Od svetlosti koja prodre u vodu veći procenat se reflektuje kada je oblačno nego ako je sunčano vreme.
4. Gornja vodena masa, do 2 m dubine, absorbira najveći deo sunčeve radijacije, obično do 90%. Pri tome je naročito aktivan gornji sloj od pola metra debljine. Idući ka većim dubinama svetlost opada postepeno.
5. Difuzna svetlost je uvek manja od one koja se absorbira i u najboljem slučaju predstavlja svega 20% od njene veličine.
6. Utvrđeno je da u Batlavskoj akumulaciji postoji jasna sezonska i dnevna, kao i prostorna distribucija u intenzitetu svetlosti.

LITERATURA

- Aberg B. and Rodhe W. (1942): Über die Milieufaktoren einigen südschwedischen Seen. *Symb. bot. upsaliens.* 5, № 3, 1—256.
- Berger F. (1961): Grenzflächenerscheinungen, die Lichtmessung unter Wasser beeinflussen. *Verh. Internat. Verein. Limnol.*, 14, 104—108.
- Birge E. A. and Juday C. (1929): Transmission of solar radiation by the waters of the inland lakes. *Trans. Wis. Acad. Sci. Arts Lett.*, 24, 509—580.
- Birge E. A. and Juday C. (1930): A second report on solar radiation and inland lakes. *Ibid*, 25, 285—335.
- Birge E. A. and Juday C. (1931): A third report on solar radiation and inland lakes. *Ibid*, 26, 383—425.
- Birge E. A. and Juday C. (1932): Solar radiation and inland lakes, fourth report. *Observation of 1931. Ibid*, 27, 523—562.
- Golubić S. (1964a): Beitrag zur Kenntnis der Lichtverhältnisse in einigen oligotrophen Seen des Karstes. *Krš Jugoslavije. Jugosl. Akad. Wiss. (Zagreb)*, 4, 27—46.
- Golubić S. (1964b): Vergleichende Untersuchungen des Lichtklimas in den Plitvicer Seen. *Verh. Internat. Verein. Limnol.*, 16, 107—110.
- Janković M. (1969): Hemijski sastav Batlavske akumulacije u prvoj godini po obrazovanju. *Ekologija*, 3, 59—76, Beograd.
- Mokievskij A. K. (1961): Metodika i nekatorije rezultati izučavanja pronikajušće v bodnuju masu ozero solnečnoj radijaciji. *Perv. prod. morej i vnutr. vod*, 273—280.
- Petrov M. B. (1961): Osnovnije gidrooptičeskie karakteristiki. *Metodi ih opredeljeniji i nekatorije rezultati ih izmerenjija v jestestvenih uslovijah*, *Ibid*, 281—288.
- Sauberer F. (1938): Zur Methodik der Durchsichtigkeitsmessung im Wasser. *Arch. Hydrobiol.*, 33, 343—360.
- Sauberer F. (1939): Beiträge zur Kenntnis des Lichtklimas einiger Alpenseen. *Int. Rev. Hydrobiol.*, 39, 20—55.
- Sauberer F. (1945): Beiträge zur Kenntnis der optischen Eigenschaften der Kärtner Seen. *Arch. Hydrobiol.*, 41, 259—314.

Sauberer F. and Eckel O. (1938): Zur Methodik der Strahlungsmessungen unter Wasser. *Int. Rev. Hydrobiol.*, 37, 257—299.

Rutkovskaja A. V. (1961): Predvariteljnije itogi isljedovanjija proniknovenjija solnečnoj radiaciji v vodnuju tolšču vodohranjiljišč i ozer. *Per. prod. morej i vnutr. vod.*, 289—297.

(Institut za biološka istraživanja, Beograd)

Summary

MIRJANA JANKOVIĆ and
MILORAD M. JANKOVIĆ

BASIC CHARACTERISTICS OF THE LIGHT REGIME AND ITS DYNAMICS IN THE ACCUMULATION BATLAVA

The study of the light climate in the accumulative lake Batlava was done during the period 1963—1967. A Lange photometer with the selenic photocell in a waterproof metal capsule was used for the purpose. The intensity of the traversed and diffused light in a vertical series as well as the intensity of the solar energy above and below the water surface have been measured simultaneously.

The obtained results could be summarised as follows:

1. A considerable amount of light penetrates into the accumulative lake Batlava reaching the maximum value of some 70.000 lux.

2. On bright days the surface layer absorbs 85—90% of the solar energy, and on the covered ones only 60—70%. In the presence of white cumuli the light absorption is like on a bright day.

3. A higher percentage of the traversed light is reflected on cloudy than on sunny days.

4. The upper water mass to the depth of 2 m., absorbs most of the solar radiation, usually 90%. The most active in this respect in the upper layer 50 cm deep. Towards greater depths the light decreases more gradually.

5. Diffused light is always inferior to the absorbed one and in the best case amounts 20% of the latter.

6. It has been established that, in the accumulative lake Batlava, there is a clear seasonal and daily as well as spatial distribution of the light intensity.

(Institute for Biological Research, Belgrade)